

خواص ساختاری و فیزیکی پوشش‌های نازک نانوکامپوزیتی دی‌اکسید تیتانیم:  
نانولوله کربنی سنتز شده به روش سل-زل غوطه‌وری به منظور استفاده در  
سلول خورشیدی رنگ‌دانه‌ای

\* شروین دانشور اصل و سید خطیب‌الاسلام صدرنژاد\*

دانشکده مهندسی و علم مواد، دانشگاه صنعتی شریف، تهران

(دریافت مقاله: ۱۳۹۵/۰۴/۰۲ - دریافت نسخه نهایی: ۱۳۹۶/۰۴/۲۴)

**چکیده**- پوشش‌های نازک نانوکامپوزیتی  $TiO_2/MWCNT$  حاوی درصدهای گوناگون از نانولوله‌های کربنی چنددیواره روی زیرلایه اکسید قلع دوب شده با فلورور به روش سل-زل غوطه‌وری ایجاد شدند. نتایج آزمون پراش‌سنجدی پرتو ایکس حاکی از آن بودند که ساختار بلوری  $TiO_2$  در پوشش‌ها آناناز است. ضمن اینکه مشخص شد افزایش مقدار CNT در پوشش باعث کاهش اندازه بلورک‌های  $TiO_2$  می‌شود اما تأثیری بر ساختار کربستالی و فاز بلوری آن ندارد. تصاویر میکروسکوپی الکترونی رو بشی گسیل میدانی نشان دادند که CNTs به طور یکنواخت در بین نانوذرات تقریباً کروی  $TiO_2$  که اندازه‌ای در حدود ۴۵ نانومتر دارند، پراکنده شده‌اند و تماس مطلوبی بین آنها وجود دارد. همچنین، این تصاویر مشخص کردند که با افزایش مقدار CNT میزان حضور ترک روی سطح پوشش زیاد می‌شود. نتایج آزمون طیف‌سنجدی مرئی - فرابنفش بیانگر آن بودند که میزان جذب در محدوده نور مرئی با افزایش مقدار CNT در پوشش زیاد شده است و تغییر قابل ملاحظه‌ای در لبه جذب پوشش‌های کامپوزیتی در مقایسه با پوشش  $TiO_2$  خالص وجود ندارد. از طیف‌های فوتولومینسانس مشخص شد که حضور CNT در پوشش  $TiO_2$  نرخ ترکیب مجدد جفت الکترون و الکترون - حفره‌ها را کم کرده است.

واژه‌های کلیدی: نانوکامپوزیت، دی‌اکسید تیتانیم، نانولوله کربنی، سل-زل غوطه‌وری، خواص فیزیکی و ساختاری.

## Structural and Physical Properties of $TiO_2/CNT$ Nanocomposite Thin Films Synthesized by Sol-Gel Dip Coating Method for Using in Dye-Sensitized Solar Cell

S. Daneshvar e Asl and S. K. Sadrnezhaad\*

Department of Materials Science and Engineering, Sharif University of Technology, Tehran, Iran.

**Abstract:**  $TiO_2/MWCNT$  nanocomposite thin films containing different percentages of multi-walled carbon nanotubes were coated on fluorinated tin oxide substrates by sol-gel dip coating method. Results of X-ray diffraction analysis indicated that the crystal structure of the coatings was anatase  $TiO_2$ . It was also understood that the size of crystallites reduced with CNT but structural properties and equilibrium phase remain intact. Field emission scanning electron microscope images showed that CNTs dispersed uniformly among 45 nm spherical  $TiO_2$  particles of close relations. These images also showed that CNT promoted cracks on the coated surface. Results of the UV-Vis spectroscopy showed that the visible light range adsorption

\*: مسئول مکاتبات، پست الکترونیکی: sadrnezh@sharif.edu

*increased with CNT and the absorption edge did not significantly differ with the pure TiO<sub>2</sub> layers.. Results of the photoluminescence spectroscopy revealed that the presence of CNT could reduce the pair electron-electron holes recombination which is considered totally undesirable.*

**Keywords:** Nanocomposite, Titanium dioxide, Carbon nanotube, Sol-gel dip coating, Structural and physical properties.

## خود تمیزشونده است [۱۹].

در این مقاله پوشش‌های نازک نانوکامپوزیتی دی‌اکسید تیتانیم نانولوله کربنی حاوی درصد های گوناگون از نانولوله کربنی چنددیواره به روش سل-ژل غوطه‌وری سنتز و خواص ساختاری و فیزیکی آنها به منظور استفاده در فتوآند سلول خورشیدی رنگدانه‌ای بررسی شده‌اند. به کارگیری روش سل-ژل غوطه‌وری برای سنتز لایه‌های نانوکامپوزیتی با ضخامت مطلوب قابل استفاده در سلول خورشیدی رنگدانه‌ای نوآوری پژوهش اخیر است که در مقایسه با روش‌های متداول مورد کاربرد در این زمینه از جمله روش دکتر بلید آسان‌تر، کم هزینه‌تر و از نظر زمانی کوتاه‌تر است.

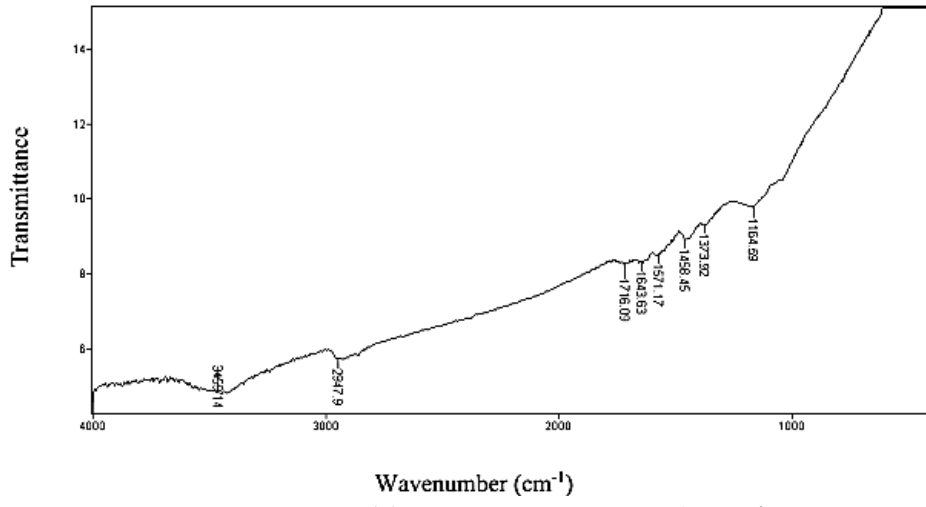
## ۲- مواد و روش تحقیق

در ابتدا نانولوله‌های کربنی چنددیواره تحت عملیات اکسیداسیون شیمیابی قرار گرفتند تا از طریق ایجاد گروه‌های عاملی روی سطحشان واکنش‌پذیری آنها با پیش‌ماده تیتانیم افزایش پیدا کند. بدین‌منظور، CNTs (دارای خلوص ۹۵ درصد، افزایش کامپوزیت US Research Nanomaterials اسید: نیتریک اسید با نسبت حجمی ۱:۳ در یک حمام اولتراسونیک با دمای ۶۰ درجه سانتی گراد به مدت ۱۰ ساعت در معرض امواج مافوق صوتی قرار گرفتند. در ادامه، CNTs توسط غشاء پلیمری PTFE از محلول جدا و با آب دی‌یونیزه شسته شدند. عملیات شستشو تا زمانی ادامه داده شد که مقدار pH محلول بعد از شستشو به ۶ برسد. در انتهای، CNTs در آون با دمای ۴۰ درجه سانتی گراد به مدت ۴۸ ساعت خشک شدند. برای تهییه سل ۵/۶ میلی‌لیتر پیش‌ماده تیتانیم بوتوكسید دارای خلوص ۹۸ درصد، (Merck)، ۴/۰ میلی‌لیتر هیدروکلریک اسید (به عنوان کاتالیزور) و نانولوله‌های کربنی پیش عملیات شده درون یک فلاسک ریخته و همزده شدند و

## ۱- مقدمه

دی‌اکسید تیتانیم یک ماده نیمه‌رسانا است که به‌طور گسترده در زمینه‌های گوناگونی مانند سنسورهای گازی، پاک‌سازی هوا، کاتالیزور، تبدیل انرژی خورشیدی به الکتریکی، سامانه‌های فتوالکتروشیمیابی (PEC) و غیره استفاده می‌شود [۱ - ۴]. بازدهی فرایندهای PEC تحت تأثیر ترکیب مجدد جفت الکترون حفره‌های تولید شده در اثر تابش نور است [۵]. بنابراین، کارهای تحقیقاتی متعددی در جهت کاهش این پدیده از طریق استفاده از یک ماده آلی یا معدنی همراه با TiO<sub>2</sub> انجام گرفته است [۳ - ۶]. کامپوزیت‌های حاوی نانولوله‌های کربنی ناشی از این حقیقت که رسانایی ماده زمینه در اثر حضور CNT به‌طور قابل ملاحظه‌ای افزایش پیدا می‌کند، توجه زیادی را به خود جلب کرده‌اند [۷ - ۱۰]. گزارش‌هایی مبنی بر جدایش مؤثر حامل‌های بار تولید شده در اثر تابش نور در اتصال غیرهمگن TiO<sub>2</sub> و CNT وجود دارد [۱۱ و ۱۲]. فعالیت فتوکاتالیستی TiO<sub>2</sub> نیز توسط حضور CNT زیاد می‌شود [۱۳]. در سلول‌های PEC مشاهده شده است که حساسیت نوری با کاربرد کامپوزیت TiO<sub>2</sub>/CNT زیاد می‌شود. نقش اصلی CNT افزایش جذب نور UV و بهبود انتقال الکترون در فتوآند TiO<sub>2</sub>/CNT است [۱۴].

چندین روش برای قرار دادن کربن در زمینه TiO<sub>2</sub> وجود دارد. تکنیک سل-ژل یکی از کارامدترین روش‌ها برای داخل کردن یون‌های گوناگون درون شبکه کریستالی TiO<sub>2</sub> است [۱۵] و وانگ و همکاران ساخت کامپوزیت کامپوزیت TiO<sub>2</sub>/CNT را به روش سل-ژل گزارش کرده‌اند [۱۷]. اغلب پژوهش‌های موجود که در آنها CNT در زمینه TiO<sub>2</sub> قرار گرفته است، سنتز پودر کامپوزیتی را گزارش کرده‌اند [۱۸]. لایه نازک TiO<sub>2</sub>/CNT نسبت به حالت پودری دارای برتری‌هایی مانند قابلیت کاربرد در فیلترهای فرابنفش، پوشش‌های ضد بازتاب و



شکل ۱- طیف مادون قرمز تبدیل فوریه نانولوله‌های کربنی اکسید شده

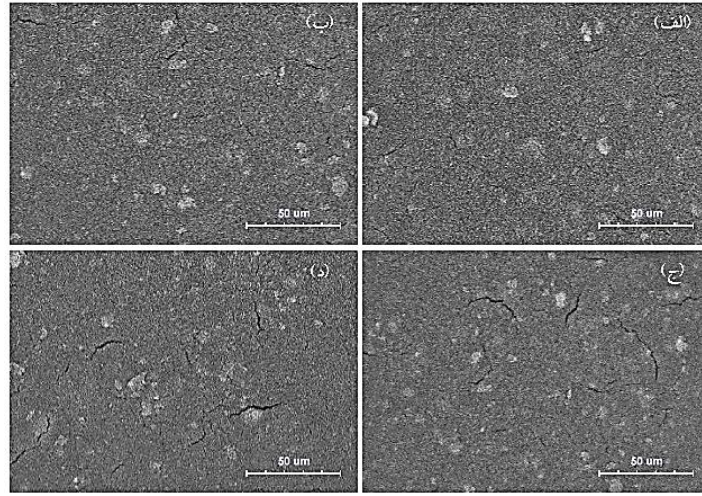
(مدل P, Stadi Lامپ مسی با طول موج ۱/۵۴۱۸ آنگستروم جهت بررسی خواص نوری و طیف‌های عبوری پوشش‌های تولید شده در محلوده نور مرئی- فرابینفس از PerkinElmer Precisely طیفسنج مرئی- فرابینفس (مدل ۲۵ Lambda) و به منظور بررسی امکان حبس حامل‌های بار، انتقال الکترون و پدیده ترکیب مجدد  $e^-/h^+$  در پوشش‌ها از طیفسنج فتولومینیسانس (مدل VARIAN CARY Eclipse) استفاده شد.

### ۳- نتایج و بحث

در شکل (۱) طیف مادون قرمز تبدیل فوریه نانولوله‌های کربنی اکسید شده نشان داده شده است. طیف، پیکی را در عدد موج ۳۴۵۹ بر سانتی‌متر که مربوط به ارتعاش‌های کششی بخش‌های OH- سطحی منزوی و / یا OH- در گروه‌های کربوکسیل و در آب جذب شده در مرحله تهیه نمونه قرصی شکل این آزمون می‌باشد، نشان می‌دهد. جابجایی عدد موج‌های مشخصه به سمت عدد موج‌های کمتر، حضور پیوندهای هیدروژنی بین گروه‌های OH- را نمایان می‌سازد. پیک‌های موجود در محلوده ۱۵۵۰- ۱۷۵۰ بر سانتی‌متر می‌توانند به گروه‌های C=O و C=C در حلقه‌های آروماتیک نسبت داده شوند. پیک موجود در محلوده ۱۰۰۰- ۱۳۰۰ بر سانتی‌متر استدلال بر حضور

هم‌زمان محلول حاوی ۱٪ میلی‌لیتر آب دی‌یونیزه (عامل هیدرولیز کننده) و ۵۵٪ میلی‌لیتر اتانول (به عنوان حلال) قطره قطره به آنها افزوده شد. سپس، محلول به دست آمده تحت اتمسفر خنثی (گاز نیتروژن) در دمای محیط به مدت یک ساعت هم‌زده شد. مقدار استفاده از نانولوله‌های کربنی صفر تا چهار درصد وزنی سل بود. برای دستیابی به سل ویسکوز مناسب برای پوشش دهی دمای سل به ۷۰ درجه سانتی گراد افزایش داده شد. در ادامه، زیرلایه اکسید قلع دوب شده با فلوئور (FTO) به مدت ۱۰ دقیقه در سل تیتانیای ویسکوز غوطه‌ور و در جهت عمود بر سطح آن با سرعت ۱۰ میلی‌متر بر ثانیه بیرون کشیده شد. در نهایت، پوشش ایجاد شده تحت اتمسفر خنثی (گاز نیتروژن) در دمای ۴۵۰ درجه سانتی گراد به مدت ۱:۴۰ تکلیس شد.

جهت تشخیص تشکیل گروه‌های بنیادی روی سطح CNTs در مرحله پیش‌عملیات از دستگاه طیفسنج مادون قرمز<sup>۱</sup> (مدل ABB Bomem MB1۰۰)، جهت تعیین شکل و ابعاد نانوساختارهای تشکیل شده و همچنین بررسی سطح پوشش‌های ایجادی از دستگاه میکروسکوپی الکترونی رو بشی گسیل میدانی<sup>۲</sup> (MIRA/TESCAN)، جهت تشخیص بلورینگی، تعیین نوع و نسبت فازهای تشکیل شده و محاسبه اندازه بلورک‌ها در  $TiO_2$  از دستگاه پراش‌سنج پرتو ایکس<sup>۳</sup>



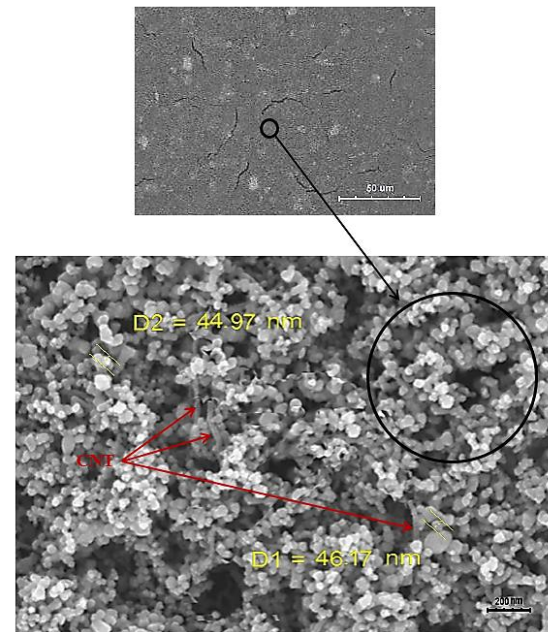
شکل ۲- تصاویر میکروسکوپی الکترونی روبشی گسیل میدانی سطح پوشش‌های نانوکامپوزیتی  $\text{TiO}_2/\text{CNT}$  با: (الف) صفر، (ب) ۱، (ج) ۲ و (د) ۳ درصد وزنی نانولوله کربنی

سانتی‌متر ناشی از آب جذب شده (تغییر شکل درون صفحه‌ای  $\text{OH}$ ) [۲۱] و پیکی در عدد موج ۲۹۴۷ بر سانتی‌متر مربوط به ارتعاش کششی متقارن و غیرمتقارن پیوند C-H [۲۲] نیز در طیف وجود دارند.

به عنوان نتیجه‌ای از این مشخصه‌یابی، پیک پیوند  $\text{C=O}$  که مشخصه گروه عاملی کربوکسیل ( $\text{-COOH}$ ) می‌باشد، در عدد موج ۱۷۱۶ بر سانتی‌متر مشاهده شد. بنابراین، عملیات اکسیداسیون شیمیایی CNTs با موفقیت صورت گرفته است. ضمن آنکه یکپارچگی ساختار شش ضلعی نانولوله‌های کربنی چنددیواره با حضور پیک در عدد موج ۱۵۷۱ بر سانتی‌متر تأیید می‌شود [۲۲].

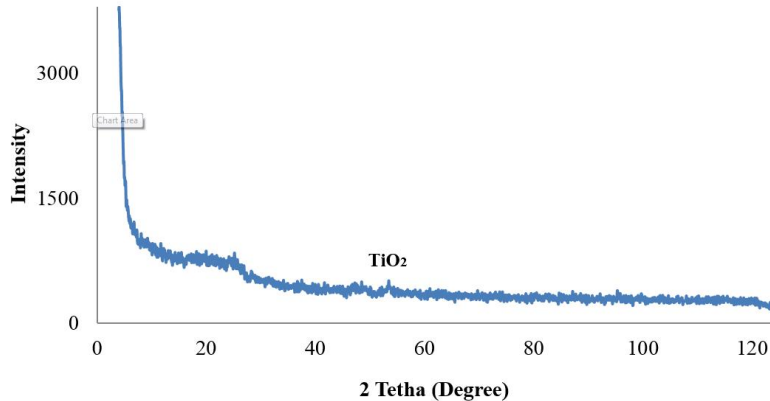
شکل (۲) تصاویر میکروسکوپی الکترونی روبشی گسیل میدانی سطح پوشش‌های نانوکامپوزیتی  $\text{TiO}_2/\text{CNT}$  با درصد های گوناگون از نانولوله کربنی را نشان می‌دهد. همان‌طور که در این شکل دیده می‌شود، با افزایش مقدار نانولوله کربنی، به‌علت آگلومره شدن آنها، ترک در پوشش زیاد شده است. حضور این ترک‌ها به‌دلیل آنکه مولکول‌های رنگدانه‌ای که در آنها قرار می‌گیرند، با ذرات  $\text{TiO}_2$  پیوندی نداشته و بعد از موئیتاز سلول خورشیدی وارد الکتروولیت می‌شوند، مضر است. ضخامت میانگین پوشش‌ها، ۷ میکرومتر است.

در شکل (۳) تصویر میکروسکوپی الکترونی روبشی گسیل

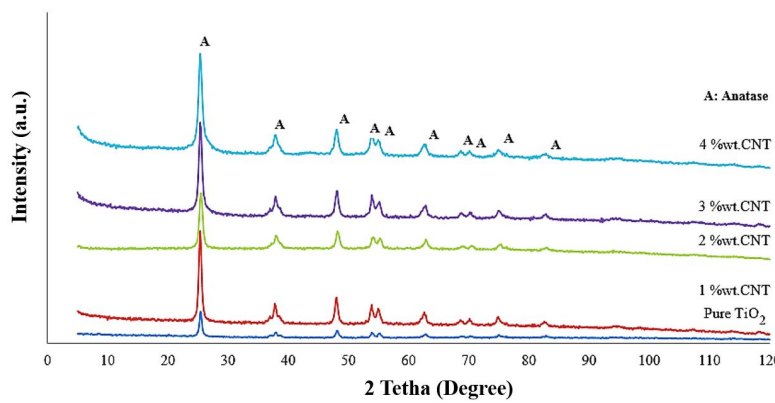


شکل ۳- تصاویر میکروسکوپی الکترونی روبشی گسیل میدانی مورفولوژی پوشش نانوکامپوزیتی  $\text{TiO}_2/4\% \text{wt.CNT}$  در دو بزرگنمایی مختلف

پیوند های  $\text{C-O}$  در محیط های شیمیایی متنوع دارد. پیک مربوط به عدد موج ۱۵۷۱ بر سانتی‌متر به احتمال زیاد ناشی از پیوند های بنیادی  $\text{C=C}$  که به صورت آروماتیک و غیر اشباع هستند، می‌باشد [۲۰ و ۲۱]. پیکی نزدیک به عدد موج ۱۴۱۰ بر



شکل ۴- الگوی پراش پرتو ایکس پوشش  $\text{TiO}_2$  خالص تکلیس نشده



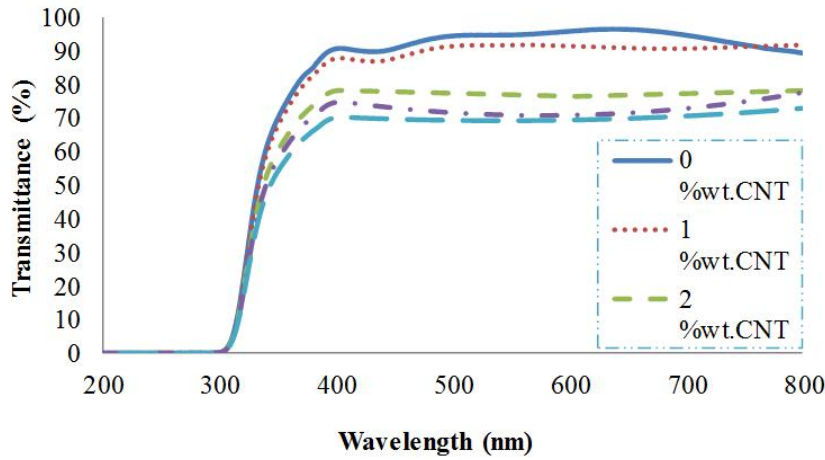
شکل ۵- الگوهای پراش پرتو ایکس پوشش‌های نانوکامپوزیتی  $\text{TiO}_2/\text{CNT}$  حاوی درصدهای گوناگون از نanolوله کربنی

تولیدی از فوتون‌های نور می‌شوند، بلورینه کردن ماده اهمیت دارد [۲۳]. بعد از آنلیل (شکل ۵)  $\text{TiO}_2$  به صورت فاز آناتاز بلورینه شده است و با توجه به حد تشخیص آزمون (پنج درصد وزنی) سایر فازها و ناخالصی در پوشش وجود ندارند. فاز آناتاز دارای ساختار بلوری تتراتگونال بوده و ثوابت شبکه آن عبارتند از:  $a=b=0.3733\text{ \AA}$  و  $c=0.937\text{ \AA}$  [۲۴]. این فاز در مقایسه با روتیل به دلایل فراهم کردن مساحت سطح ویژه بیشتر برای جذب مولکول‌های رنگدانه، بیشتر بودن ضریب نفوذ الکترون‌های نوار هدایت در آن [۲۵] و کمتر بودن نواقص شبکه‌ای (و در نتیجه موقعیت‌های تله کم‌تر در مسیر حرکت الکترون‌ها) [۲۳] در کاربردهای مرتبط با سلول‌های خورشیدی رنگدانه‌ای ترجیح داده می‌شود. ان迪س میلر صفحات بلوری متناظر با پیک‌های آشکار شده فاز آناتاز

میدانی مورفولوژی پوشش نانوکامپوزیتی  $\text{TiO}_2/4\text{ wt.CNT}$  نشان داده شده است. همان‌طور که در این شکل دیده می‌شود، نanolوله‌های کربنی به طور یکنواخت در بین نانوذرات  $\text{TiO}_2$  که دارای شکل تقریباً کروی و اندازه‌ای در حدود ۴۵ نانومتر می‌باشند، پراکنده شده‌اند. دلیل مخلخل شدن پوشش خروج حلال در مرحله تکلیس است.

الگوهای پراش پرتو ایکس پوشش  $\text{TiO}_2$  خالص تکلیس نشده و پوشش‌های نانوکامپوزیتی  $\text{TiO}_2/\text{CNT}$  حاوی درصدهای گوناگون از نanolوله کربنی به ترتیب در شکل‌های (۴) و (۵) نشان داده شده‌اند.

با توجه به شکل (۴) ساختار پوشش قبل از تکلیس به صورت آمورف است. با توجه به آنکه در ماده آمورف تعداد زیادی مکان‌های تله وجود دارند که باعث بازترکیب شارژ



شکل ۶- طیف‌های عبوری پوشش‌های نانوکامپوزیتی  $\text{TiO}_2/\text{CNT}$  حاوی درصدهای گوناگون از نanolوله کربنی در محدوده طول موج ۲۰۰-۸۰۰ نانومتر

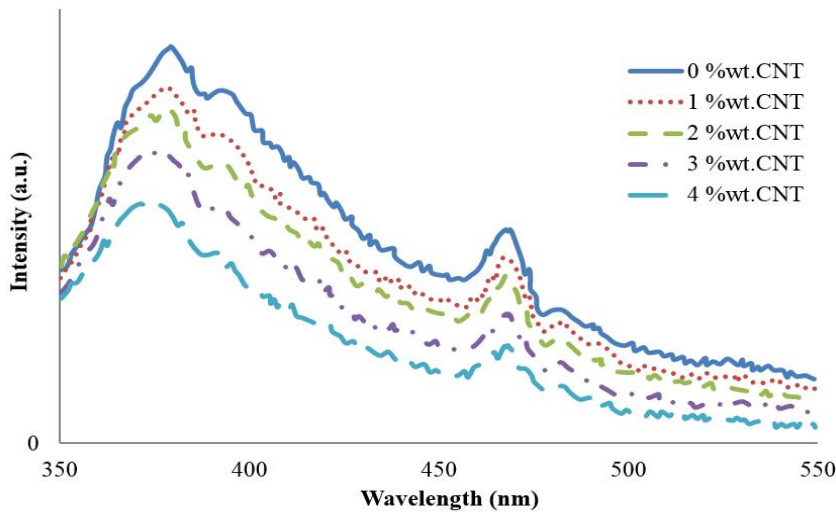
دلیل کاهش اندازه بلورک‌ها این است که حضور نanolوله کربنی در پوشش‌های نانوکامپوزیتی مانع رشد بلورک‌ها می‌شود. مرزدانه‌های اصلی و فرعی به عنوان موقعیت‌های تله در مسیر حرکت الکترون‌ها عمل می‌کنند. بنابراین، کم شدن اندازه بلورک‌های  $\text{TiO}_2$  منجر به افزایش پدیده ترکیب مجدد می‌شود و از این لحاظ مطلوب نیست.

شکل (۶) طیف‌های عبوری پوشش‌های نانوکامپوزیتی  $\text{TiO}_2/\text{CNT}$  حاوی درصدهای گوناگون از نanolوله کربنی را در محدوده نور مرئی - فرابنفش نشان می‌دهد. کاهش قابل توجه میزان عبور نور در طول موج‌های کمتر از ۴۰۰ نانومتر به شکافتری نواری ذاتی جذب  $\text{TiO}_2$  نسبت داده می‌شود [۲۷]. مقایسه طیف‌های عبوری پوشش‌های کامپوزیتی با پوشش  $\text{TiO}_2$  خالص، کاهش در میزان عبور نور در محدوده نور مرئی را نشان می‌دهد به طوری که میزان جذب در این محدوده با افزایش مقدار نanolوله کربنی در پوشش زیاد شده است. دلیل این امر تشکیل ساختارهای  $\text{Ti-C}$  و  $\text{Ti-O-C}$ ، کاهش تخلخل پوشش‌ها و افزایش چگالی آنها می‌باشد [۳۱]. بهبود میزان جذب نور مرئی به معنی افزایش توانایی فتوآند در به دام اندازی نور در سلول خورشیدی رنگدانه‌ای می‌باشد. شایان ذکر است که کاهش شفافیت الکترون و جلوگیری از رسیدن نور به مولکول رنگدانه توسط نanolوله کربنی در غلظت‌های بیش از حد از آن مضر و باعث کاهش

به ترتیب از چپ به راست عبارت از (۱۰۱)، (۰۰۴)، (۰۰۵)، (۲۰۰)، (۲۱۱)، (۲۰۴)، (۱۱۶)، (۲۲۰)، (۲۱۵) و (۲۲۴) می‌باشد [۲۶]. شایان ذکر است که پیک مشخصه نanolوله کربنی در  $\theta = 26^\circ$  به دلیل همپوشانی این پیک با پیک (۱۰۱) فاز آناتاز و بلورینگی غالب  $\text{TiO}_2$  و همچنین اختلاف جرم زیاد نanolوله کربنی و  $\text{TiO}_2$  در طیف‌های مربوط به پوشش‌های نانوکامپوزیتی مشاهده نمی‌شود. نتایج مشابهی توسط سایر پژوهشگران گزارش شده است [۲۷، ۰۰۲ - ۰۰۵] برای محاسبه اندازه بلورک‌های  $\text{TiO}_2$  از رابطه ویلیامسون-هال (رابطه ۱) استفاده شد:

$$\beta \cos \theta = \frac{\lambda}{D} + 4 \varepsilon \sin \theta \quad (1)$$

در این رابطه،  $\theta$ : زاویه تفرق بر حسب درجه،  $\varepsilon$ : بیشینه کرنش موجود در ساختار ماده،  $\lambda$ : طول موج پرتو ایکس بر حسب نانومتر،  $D$ : متوسط اندازه بلورک‌ها بر حسب نانومتر و  $\beta$ : عرض کامل در نصف بیشینه پیک بر حسب رادیان هستند [۳۰]. ذکر این نکته حائز اهمیت است که با توجه به اینکه پیک (۱۰۱) فاز آناتاز با پیک (۰۰۲) نanolوله کربنی همپوشانی دارد، برای محاسبه اندازه بلورک‌های  $\text{TiO}_2$  از سه پیک شدید بعدی این ماده استفاده شده است. این اندازه برای پوشش  $\text{TiO}_2$  خالص ۱۱ نانومتر و برای پوشش نانوکامپوزیتی  $\text{TiO}_2/4\text{wt.CNT}$  ۵/۵ نانومتر می‌باشد.



شکل ۷- طیف‌های فتولومینسانس پوشش‌های نانوکامپوزیتی  $\text{TiO}_2/\text{CNT}$  حاوی درصدهای گوناگون از CNT

ترکیب مجدد  $\text{e}^-/\text{h}^+$  را کم می‌کند. با تعمیم نتایج، در حالت کلی می‌توان بیان کرد که در یک سلول خورشیدی رنگدانه‌ای علاوه بر الکترون‌های تولید شده در اثر تهییج  $\text{TiO}_2$ ، الکترون‌های تزریق شده از مولکول‌های رنگدانه تهییج شده نیز می‌توانند بهطور مؤثر به نوار هدایت  $\text{TiO}_2$  و سپس از طریق نانولوله‌های کربنی به زیرلایه FTO برسند و در نتیجه بازدهی ترکیب مجدد کلی در سلول خورشیدی کم شود.

بازدهی سلول خورشیدی می‌شود. همان‌طور که از شکل اخیر برمی‌آید، تغییر قابل ملاحظه‌ای در لبه جذب پوشش‌های کامپوزیتی  $\text{TiO}_2/\text{CNT}$  در مقایسه با پوشش  $\text{TiO}_2$  خالص وجود ندارد. این نتیجه نشان می‌دهد که نانولوله کربنی در شبکه  $\text{TiO}_2$  داخل نشده و تنها با سطح نانوذرات تماس دارند. این استدلال با توجه به پایداری نانولوله کربنی در دمای ۴۵۰ درجه سانتی‌گراد (دمای تکلیس پوشش‌ها) و تجزیه نشدن آنها قابل درک است.

#### ۴- نتیجه‌گیری

پوشش‌های نانوکامپوزیتی  $\text{TiO}_2/\text{MWCNT}$  حاوی درصدهای گوناگون از نانولوله‌های کربنی چنددیواره روی زیرلایه اکسید قلع دوپ شده با فلورور به روش سل-ژل غوطه‌وری با موفقیت ایجاد شدند. آزمون‌های مشخصه‌یابی پوشش‌های نانوکامپوزیتی مشخص کرد که لایه نازک دی‌اکسید تیتانیم حاوی درصد بهینه از نانولوله‌های کربنی می‌تواند به طور مؤثر در ساخت فتوآند سلول خورشیدی رنگدانه‌ای به کار گرفته شود. در واقع، حضور نانولوله‌های کربنی می‌تواند از طریق بهبود انتقال الکترون‌ها، کم کردن نرخ ترکیب مجدد جفت الکترون و الکترون حفره‌ها و زیاد کردن به داماندازی نور باعث افزایش بازدهی سلول خورشیدی شود.

طیف‌های فتولومینسانس پوشش‌های نانوکامپوزیتی  $\text{TiO}_2/\text{CNT}$  حاوی درصدهای گوناگون از نانولوله کربنی در شکل (۷) آورده شده‌اند. طیف دو پیک نشر را یکی در ۳۸۰ نانومتر مربوط به نشر باند مستقیم متناظر با شکاف انرژی ذاتی فاز آناتاز (۲/۳ کترон ولت) و دیگری در ۴۶۵ نانومتر مربوط به فرایند نشر ناشی از حضور عیب جای خالی اکسیژن در  $\text{TiO}_2$  [۲۸] نشان می‌دهد. از شکل اخیر مشخص است که شدت پیک‌های فتولومینسانس مربوط به پوشش‌های کامپوزیتی از پوشش  $\text{TiO}_2$  خالص کمتر است و این شدت‌ها با افزایش میزان نانولوله کربنی کمتر می‌شوند. بنابراین، با توجه به آنکه شدت پیک‌ها متناظر با احتمال وقوع فرایندهای نشر هستند، نتیجه می‌شود که حضور نانولوله کربنی در پوشش  $\text{TiO}_2$  نرخ

ریاست جمهوری به سبب حمایت از پژوهش‌های دارای کاربرد  
قدرتانی می‌شود.

## ۵- قدردانی

از معاونت پژوهشی دانشگاه صنعتی شریف و ستاد نانوفناوری

## واژه‌نامه

1. Infrared Spectroscope
2. Field Emission Scanning Electron Microscopy
3. X- Ray Diffractometer

## مراجع

1. Jalali, M., Moakhar, R. S., Kushwaha, A., Goh, G. K. L., Sadrnezhaad, S. K., and Riahi-Noori, N., "TiO<sub>2</sub> Surface Nanostructuring for Improved Dye Loading and Light Scattering in Double-Layered Screen-Printed Dye-Sensitized Solar Cells", *Journal of Applied Electrochemistry*, Vol. 45, No. 8, pp. 831-838, 2015.
2. Jalali, M., Moakhar, R. S., Kushwaha, A., Goh, G. K. L., Riahi-Noori, N., and Sadrnezhaad, S. K., "Enhanced Dye Loading-Light Harvesting TiO<sub>2</sub> Photoanode with Screen Printed Nanorod-Nanoparticles Assembly for Highly Efficient Solar Cell", *Electrochimica Acta*, Vol. 169, pp. 395-401, 2015.
3. Jarernboon, W., Pimanpang, S., Maensiri, S., Swatsitang, E., and Amornkitbamrung, V., "Effects of Multiwall Carbon Nanotubes in Reducing Microcrack Formation on Electrophoretically Deposited TiO<sub>2</sub> Film", *Journal of Alloys and Compounds*, Vol. 476, No. 1, pp. 840-846, 2009.
4. Jiang, L. C., and Zhang, W. D., "Electrodeposition of TiO<sub>2</sub> Nanoparticles on Multiwalled Carbon Nanotube Arrays for Hydrogen Peroxide Sensing", *Electroanalysis*, Vol. 21, No. 8, pp. 988-993, 2009.
5. Jiang, L. C., and Zhang, W. D., "Charge Transfer Properties and Photoelectrocatalytic Activity of TiO<sub>2</sub>/MWCNT Hybrid", *Electrochimica Acta*, Vol. 56, No. 1, pp. 406-411, 2010.
6. Yao, Y., Li, G., Ciston, S., Lueptow, R. M., and Gray, K. A., "Photoreactive TiO<sub>2</sub>/Carbon Nanotube Composites: Synthesis and Reactivity", *Environmental Science & Technology*, Vol. 42, No. 13, pp. 4952-4957, 2008.
7. Li, J., Tang, S., Lu, L., and Zeng, H. C., "Preparation of Nanocomposites of Metals, Metal Oxides, and Carbon Nanotubes via Self-Assembly", *Journal of the American Chemical Society*, Vol. 129, No. 30, pp. 9401-9409, 2007.
8. Kongkanand, A., Martínez Domínguez, R., and Kamat, P. V., "Single Wall Carbon Nanotube Scaffolds for Photoelectrochemical Solar Cells. Capture and Transport of Photogenerated Electrons", *Nano Letters*, Vol. 7, No. 3, pp. 676-680, 2007.
9. Yan, X., Pan, D., Li, Z., Zhao, B., Zhang, J., and Wu, M., "Facile Synthesis of Solution-Disposable Carbon Nanotube-TiO<sub>2</sub> Hybrids in Organic Media", *Materials Letters*, Vol. 64, No. 15, pp. 1694-1697, 2010.
10. Sawatsuk, T., Chindaduang, A., Sae-Kung, C., Pratontep, S., and Tumcharern, G., "Dye-Sensitized Solar Cells Based on TiO<sub>2</sub>-MWCNTs Composite Electrodes: Performance Improvement and Their Mechanisms", *Diamond and Related Materials*, Vol. 18, No. 2, pp. 524-527, 2009.
11. Yu, H., Quan, X., Chen, S., Zhao, H., and Zhang, Y., "TiO<sub>2</sub>-Carbon Nanotube Heterojunction Arrays with a Controllable Thickness of TiO<sub>2</sub> Layer and Their First Application in Photocatalysis", *Journal of Photochemistry and Photobiology A: Chemistry*, Vol. 200, No. 2, pp. 301-306, 2008.
12. Wang, H., Quan, X., Yu, H., and Chen, S., "Fabrication of a TiO<sub>2</sub>/Carbon Nanowall Heterojunction and Its Photocatalytic Ability", *Carbon*, Vol. 46, No. 8, pp. 1126-1132, 2008.
13. Xu, Y. J., Zhuang, Y., and Fu, X., "New Insight for Enhanced Photocatalytic Activity of TiO<sub>2</sub> by Doping Carbon Nanotubes: A Case Study on Degradation of Benzene and Methyl Orange", *The Journal of Physical Chemistry C*, Vol. 114, No. 6, pp. 2669-2676, 2010.
14. Li, L., Yang, M., Zhang, S., Liu, P., Li, G., Wen, W., Zhang, H., and Zhao, H., "The Fabrication of CNTs/TiO<sub>2</sub> Photoanodes for Sensitive Determination of Organic Compounds", *Nanotechnology*, Vol. 21, No. 48, p. 485503, 2010.
15. Carvalho, H. W., Batista, A. P., Hammer, P., and Ramalho, T. C., "Photocatalytic Degradation of Methylene Blue by TiO<sub>2</sub>-Cu Thin Films: Theoretical and Experimental Study", *Journal of Hazardous Materials*, Vol. 184, No. 1, pp. 273-280, 2010.
16. Akpan, U. G., and Hameed, B. H., "The Advancements in Sol-Gel Method of Doped-TiO<sub>2</sub> Photocatalysts", *Applied Catalysis A: General*, Vol. 375, No. 1, pp. 1-11, 2010.
17. Wang, W., Serp, P., Kalck, P., and Faria, J. L., "Visible Light Photodegradation of Phenol on

- MWNT-TiO<sub>2</sub> Composite Catalysts Prepared by a Modified Sol-Gel Method", *Journal of Molecular Catalysis A: Chemical*, Vol. 235, No. 1, pp. 194-199, 2005.
18. Gao, B., Peng, C., Chen, G. Z., and Puma, G. L., "Photo-Electro-Catalysis Enhancement on Carbon Nanotubes/Titanium Dioxide (CNTs/TiO<sub>2</sub>) Composite Prepared by a Novel Surfactant Wrapping Sol-Gel Method", *Applied Catalysis B: Environmental*, Vol. 85, No. 1, pp. 17-23, 2008.
19. Garzella, C., Comini, E., Tempesti, E., Frigeri, C., and Sberveglieri, G., "TiO<sub>2</sub> Thin Films by a Novel Sol-Gel Processing for Gas Sensor Applications", *Sensors and Actuators B: Chemical*, Vol. 68, No. 1, pp. 189-196, 2000.
20. Pavia, D. L., Lampman, G. M., Kriz, G. S., and Vyvyan, J. A., *Introduction to Spectroscopy*, 4th ed., p. 657, Brooks/Cole Cengage Learning, Belmont, 2009.
21. Stobinski, L., Lesiak, B., Kövér, L., Tóth, J., Biniak, S., Trykowski, G., and Judek, J., "Multiwall Carbon Nanotubes Purification and Oxidation by Nitric Acid Studied by the FTIR and Electron Spectroscopy Methods", *Journal of Alloys and Compounds*, Vol. 501, No. 1, pp. 77-84, 2010.
22. Yudianti, R., Onggo, H., Sudirman, Y. S., Iwata, T., and Azuma, J. I., "Analysis of Functional Group Sited on Multi-Wall Carbon Nanotube Surface", *Open Materials Science Journal*, Vol. 5, No. 1, pp. 242-247, 2011.
۲۳. بخشایش، ا.م، "سلول خورشیدی فعال شده با رنگ حاوی نانوذره و نانورسیم دی اکسید تیتانیم" ، پایان نامه کارشناسی ارشد، دانشگاه صنعتی شریف، تهران، ۱۳۹۱
24. Carp, O., Huisman, C. L., and Reller, A., "Photoinduced Reactivity of Titanium Dioxide", *Progress in Solid State Chemistry*, Vol. 32, No. 1, pp. 33-177, 2004.
25. Chaveanghong, S., Smith, S. M., Sudchanham, J., and Amornsakchai, T., "Enhancement of Power Conversion Efficiency of Dye-Sensitized Solar Cells by using Multi-Walled Carbon Nanotubes/TiO<sub>2</sub> Electrode", *Journal of the Microscopy Society of Thailand*, Vol. 4, No. 1, pp. 36-40, 2011.
26. Jitianu, A., Cacciaguerra, T., Benoit, R., Delpeux, S., Beguin, F., and Bonnamy, S., "Synthesis and Characterization of Carbon Nanotubes-TiO<sub>2</sub> Nanocomposites", *Carbon*, Vol. 42, No. 5, pp. 1147-1151, 2004.
27. Lee, T. Y., Alegaonkar, P. S., and Yoo, J. B., "Fabrication of Dye Sensitized Solar Cell Using TiO<sub>2</sub> Coated Carbon Nanotubes", *Thin Solid Films*, Vol. 515, No. 12, pp. 5131-5135, 2007.
28. Yu, J., Fan, J., and Cheng, B., "Dye-Sensitized Solar Cells Based on Anatase TiO<sub>2</sub> Hollow Spheres/Carbon Nanotube Composite Films", *Journal of Power Sources*, Vol. 196, No. 18, pp. 7891-7898, 2011.
29. Chang, H., Hsieh, T. J., Chen, T. L., Huang, K. D., Jwo, C. S., and Chien, S. H., "Dye-Sensitized Solar Cells Made with TiO<sub>2</sub>-Coated Multi-Wall Carbon Nanotubes and Natural Dyes Extracted from Ipomoea", *Materials Transactions*, Vol. 50, No. 12, pp. 2879-2884, 2009.
30. Birkholz, M., *Thin Film Analysis by X-Ray Scattering*, p. 378, Wiley-VCH Verlag GmbH & Co. KGaA, Weinheim, 2006.
31. Morales, E. R., Mathews, N. R., Reyes-Coronado, D., Magaña, C. R., Acosta, D. R., Alonso-Nunez, G., Martinez, O.S., and Mathew, X., "Physical Properties of the CNT:TiO<sub>2</sub> Thin Films Prepared by Sol-Gel Dip Coating", *Solar Energy*, Vol. 86, No. 4, pp. 1037-1044, 2012.